

Пределы детализации и
формулировка уравнений,
описывающих поведение
сплошной среды.

Четверушкин Б.Н.

Институт прикладной математики им. М.В. Келдыша
РАН

Grand Challenge – Экзафлопсные вычисления

Рост производительности вычислительной техники – 1EXAFLOPS – 2018 г.

Системы производительностью в 1PFLOPS будут достаточно распространены к 2015 г.

Существует реальная потребность в высокопроизводительных вычислениях: нефтедобыча, экологически чистое горение, атомная и термоядерная энергетика, турбулентность, астрофизика

В настоящее время расчетов использующих более 100 TFLOPS на задачу мало.

Фактически существует 100 TFLOPS барьер.

Причина: необходимость использования для высокопроизводительных вычислений принципиально новых моделей, алгоритмов программного обеспечения.

Логически простые, но эффективные алгоритмы.

Решение средствами фундаментальной науки

«Физически» бесконечно малый объем содержит
несколько десятков молекул.

В воздухе нормальной плотности, характерный
размер этого объема $l^* \sim 10^{-6}$ см

$$l_0 \ll l^* \ll l$$

l_0 – размер молекулы 10^{-8} см,

l – длина свободного пробега $l^* \sim 10^{-4}$ см

Уравнение теплопроводности –

$$\frac{\partial T}{\partial t} = \frac{\partial}{\partial x} K \frac{\partial T}{\partial x} + I$$

парадокс мгновенного распространения тепла

Неявная схема – парадокс существует

$$\frac{T_i^{j+1} - T_i^j}{\Delta t} = K \frac{T_{i+1}^{j+1} - 2T_i^{j+1} + T_{i-1}^{j+1}}{\Delta x^2} + I$$

Явная схема – конечная скорость распространения

$$\frac{T_i^{j+1} - T_i^j}{\Delta t} = K \frac{T_{i+1}^j - 2T_i^j + T_{i-1}^j}{\Delta x^2} + I$$

Гиперболическая теплопроводность

$$\frac{\partial T}{\partial t} + \frac{\Delta t}{2} \frac{\partial^2 T}{\partial t^2} = \frac{\partial}{\partial x} K \frac{\partial T}{\partial x} + I$$

$$\Delta t \gtrsim \tau \quad \tau \sim 10^{-8} \text{ см}$$

$$\Delta t \leq \frac{\Delta x^2}{2K}, \quad \Delta t \sim \tau = \frac{l}{c}, \quad K \sim l \cdot c \quad \Delta x \gtrsim l$$

Кинетические схемы – квазигазодинамическая система
1983 г.

$$f(x, \zeta, t^{j+1})$$

$$t^{j+1} = t^j + \tau$$

$$f_0(x - \zeta\tau, \zeta, t^j)$$

$$f(\bar{x}, \bar{\zeta}, t^{j+1}) = f_0(\bar{x} - \bar{\zeta}\tau, \bar{\zeta}, t^{j+1})$$

$$\frac{l}{L} \ll 1$$

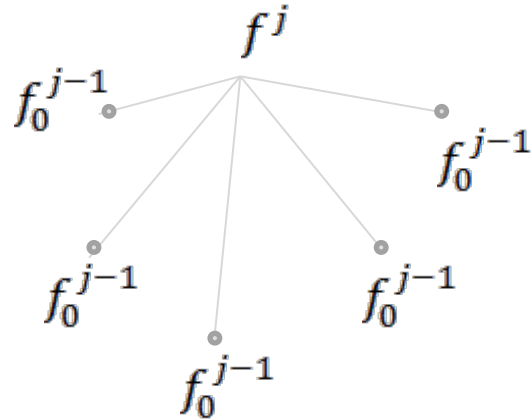
$$f^{j+1} - f^j = -\tau \zeta_i \frac{\partial f_0}{\partial x_i} + \frac{\partial}{\partial x_i} \frac{\tau^2}{2} \zeta_i \zeta_k \frac{\partial f_0}{\partial x_k}$$

$$\frac{|\zeta|\tau}{L} \ll 1$$

Умножим на сумматорные инварианты $1, \bar{\zeta}, \zeta^2/2$
и проинтегрируем по скоростям молекул

Lattice Boltzmann схемы

БГК модель



$$\frac{df}{dt} = v(f_0 - f)$$

$$\rho = \sum f^j \Delta \zeta$$

$$\rho U = \sum f^j \zeta \Delta \zeta$$

Явные схемы.

В роли длины свободного пробега выступает h

$$Re = \frac{\rho UL}{\mu} \quad \mu \sim lc \cdot \rho$$

Гиперболическая система - КГУ

$$\frac{\partial \rho}{\partial t} + \tau \frac{\partial^2 \rho}{\partial t^2} + \frac{\partial \rho U}{\partial x} = \frac{\partial}{\partial x} \frac{\tau}{2} \frac{\partial}{\partial x} (\rho U^2 + P)$$

$$\frac{\partial \rho U}{\partial t} + \tau \frac{\partial^2 \rho U}{\partial t^2} + \frac{\partial}{\partial x} (\rho U^2 + P) = \frac{\partial}{\partial x} \frac{\tau}{2} \frac{\partial}{\partial x} (\rho U^3 + 3PU)$$

$$\frac{\partial E}{\partial t} + \tau \frac{\partial^2 E}{\partial t^2} + \frac{\partial}{\partial x} (U(E + P)) = \frac{\partial}{\partial x} \frac{\tau}{2} \frac{\partial}{\partial x} (U^2(E + 2P) + \frac{\partial}{\partial x} \frac{\tau}{2} \frac{\partial}{\partial x} \left[\frac{P}{\rho} (E + P) \right])$$

$$КГУ = N - S + O(Kn^2)$$

$$\frac{\partial T}{\partial t} + \frac{\tau^*}{2} \frac{\partial^2 T}{\partial t^2} = \frac{\partial}{\partial x} K \frac{\partial^2 T}{\partial x^2} + I$$

$$\left[\tau^* \frac{\partial^2 T}{\partial t^2} \right] \ll \left[\frac{\partial T}{\partial t} \right]$$

$$\tau^* \sim h/c$$

$$\frac{T_i^{j+1} - T_i^{j-1}}{2\Delta t} + \frac{\tau^*}{2} \frac{T_i^{j+1} - 2T_i^j + T_i^{j-1}}{\Delta t^2} = K \frac{T_{i-1}^j - 2T_i^j + T_{i+1}^j}{\Delta x^2}$$

$$\frac{\tau}{2\Delta t^2} = \frac{K}{\Delta x^2} \quad \text{Дюффорт Франкел} \quad \Delta t \sim h^{3/2}$$

$$\Delta t \sim h$$

Combustion Flows

$$\frac{\partial \rho_i}{\partial t} + \frac{\partial^2 \rho_i}{\partial t^2} + \frac{\partial \rho_i U}{\partial x} = \frac{\partial}{\partial x} \frac{\tau}{2} \frac{\partial}{\partial x} (\rho_i U^2 + P_i) \quad - \text{ self diffusion}$$

$i = 1 \dots N - 1$, i – number of species

$$\rho = \rho_i, \quad P = P_i$$

$$\frac{\partial}{\partial t} + \frac{\partial^2}{\partial t^2} + \frac{\partial \rho U}{\partial x} = \frac{\partial}{\partial x} \frac{\tau}{2} \frac{\partial}{\partial x} (\rho U^2 + P) \rightarrow O(\text{Kn}^2)$$

$$\frac{\partial \rho U}{\partial t} + \frac{\partial^2 \rho U}{\partial t^2} + \frac{\partial \overbrace{U^2 + P}^{\text{from above}}}{\partial x} = \frac{\partial}{\partial x} \frac{\tau}{2} \frac{\partial}{\partial x} (\rho U^3 + 3PU)$$

Метод стабилизационных поправок

$$-U \frac{d\Phi}{dx} + K \frac{d^2\Phi}{dx^2} + Q = 0$$

Проинтегрируем это уравнение на отрезке $x_b - x_a = h$
и воспользуемся разложением в ряду Тейлора

$$-U \frac{d\Phi}{dx} + K \frac{d^2\Phi}{dx^2} + Q + \frac{h}{2} \frac{d}{dx} U \frac{d\Phi}{dx} = 0$$

$\tau^* = h/U$ - внутреннее время

$$-U \frac{d\Phi}{dx} + K \frac{d^2\Phi}{dx^2} + Q + \frac{d}{dx} \frac{\tau^*}{2} \frac{d\Phi U^2}{dx} = 0$$

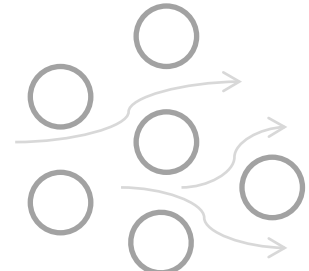
При наличии достаточных вычислительных ресурсов степень детализации (величина h) определяется из реальных потребностей.

Задачи фильтрации

$$\frac{\partial \rho}{\partial t} + \operatorname{div} \rho \bar{U} = 0 \quad (1)$$

$$KU = -\operatorname{grad} P \quad (2)$$

$$\rho = \rho_0 [1 + \beta(P - \rho_0)] \quad (3)$$



$$\frac{\partial \rho}{\partial t} + \tau^* \frac{\partial^2 \rho}{\partial t^2} + \operatorname{div} \rho U = \operatorname{div} \frac{\tilde{l}c}{2} \operatorname{grad} \rho$$

$$KU = -\operatorname{grad} P$$

$$\rho = \rho_0 [1 + \beta(P - \rho_0)]$$

\hat{l} - несколько
десятков зерен
породы

Уравнение Больцмана

$$\frac{\partial f}{\partial t} + \zeta \frac{\partial f}{\partial x} = J(f, f')$$

$$\frac{f_i^{j+1} - f_i^j}{\Delta t} + \zeta \frac{f_{i+1}^j - f_{i-1}^j}{2\Delta x} = \frac{|\zeta| \Delta x}{2} \frac{f_{i+1}^j - 2f_i^j + f_{i-1}^j}{(\Delta x)^2} + J(f, f')$$

$$\frac{\partial f}{\partial t} + \tau^* \frac{\partial^2 f}{\partial t^2} + \zeta \frac{\partial f}{\partial x} = \frac{|\zeta| l^*}{2} \frac{\partial^2 f}{\partial x^2} + J(f, f')$$

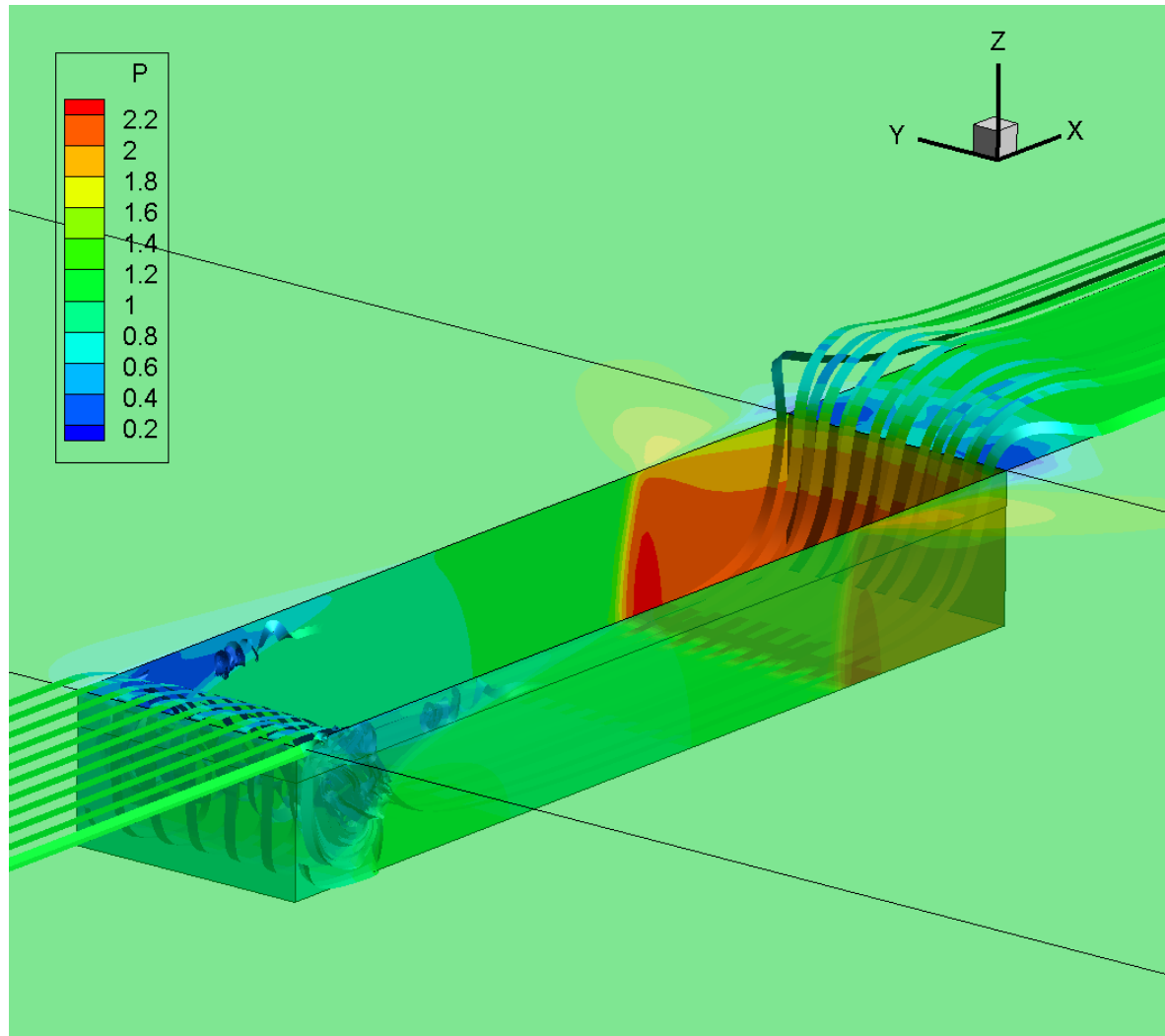
$$\tau^* = l_0/c = 10^{-14} \text{ сек} \quad l_0 \sim 10^{-8} \text{ см}$$

f - вероятностный характер и объем диаметра l^* должен содержать несколько десятков молекул

$$l_0 \ll l^* \ll l$$

$$\frac{\partial f}{\partial t} + \zeta \frac{\partial f}{\partial x} = \frac{1}{2} \frac{\partial}{\partial x} |\zeta| l^* \frac{\partial f}{\partial x} + J(f, f')$$

Flow in cavity simulation



$4.5 \cdot 10^9$ mesh nodes
GPGPU “Lomonosov”
Efficiency 68.1%
1200 Fermi cards

Streamlines and
pressure level sets

Hyperbolic Model of Multiphase Fluid Flow in Porous Medium

$$m \frac{\partial(\rho_\alpha S_\alpha)}{\partial t} + \tau \frac{\partial^2(\rho_\alpha S_\alpha)}{\partial t^2} + \operatorname{div}(\rho_\alpha \mathbf{u}_\alpha) = q_\alpha + \operatorname{div} \frac{l_\alpha c_\alpha}{2} \operatorname{grad}(\rho_\alpha S_\alpha)$$

$$\mathbf{u}_\alpha = -K \frac{k_\alpha}{\mu_\alpha} (\operatorname{grad} p_\alpha - \rho_\alpha \mathbf{g})$$

$$\rho_\alpha = \rho_{0\alpha} [1 + \beta_\alpha (p_\alpha - p_{0\alpha})]$$

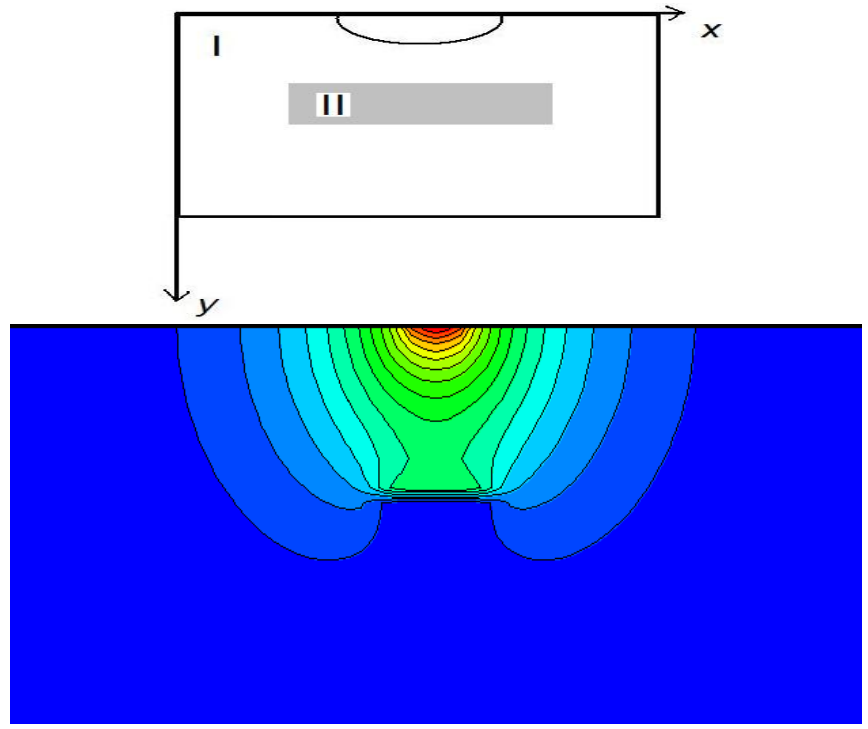
$$\sum_\alpha S_\alpha = 1$$

$$p_\alpha - p_\beta = p_c{}_{\alpha\beta}(S_\alpha, S_\beta), \quad \alpha \neq \beta$$

α (β) indicates the phase

$$\Delta t \square h^{3/2}$$

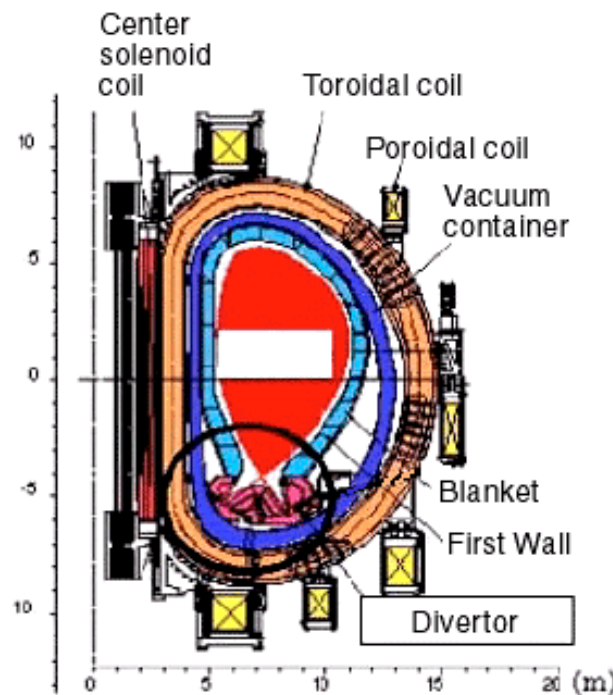
3D problem of tetrachloroethylene infiltration into the water-saturated soil (vertical central section)



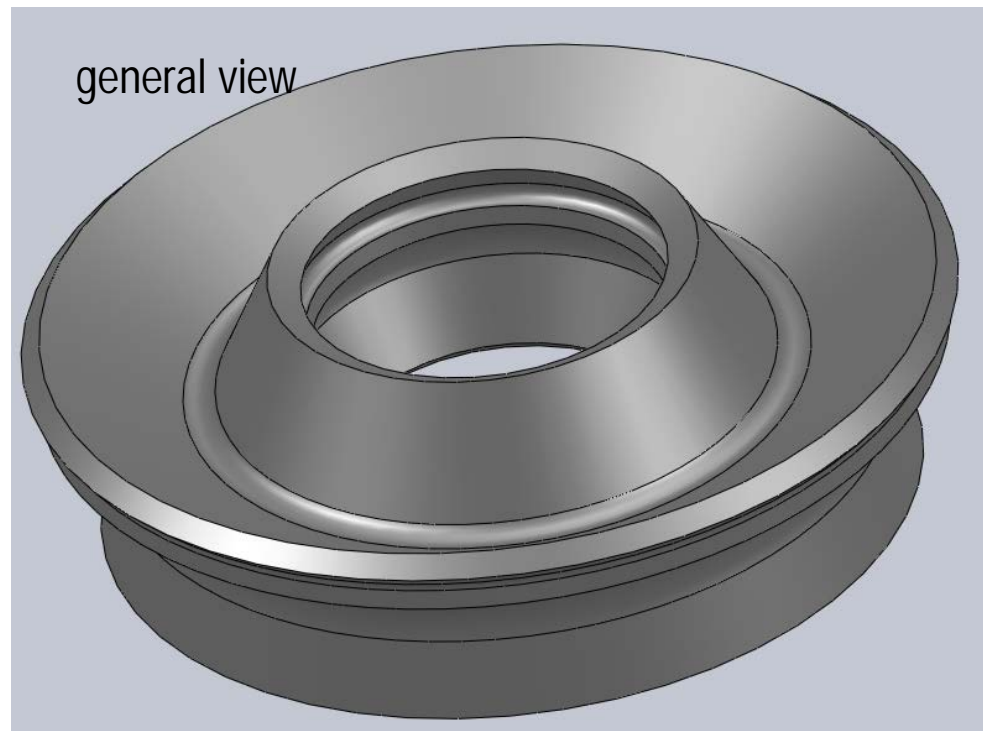
$1.5 \cdot 10^9$ mesh nodes
K-100 - 100TFLOPs Contaminant saturation field

The immediate task is the development of the model for turbulent heat and mass transfer in ITER divertor (MHD + turbulence + radiative transfer).

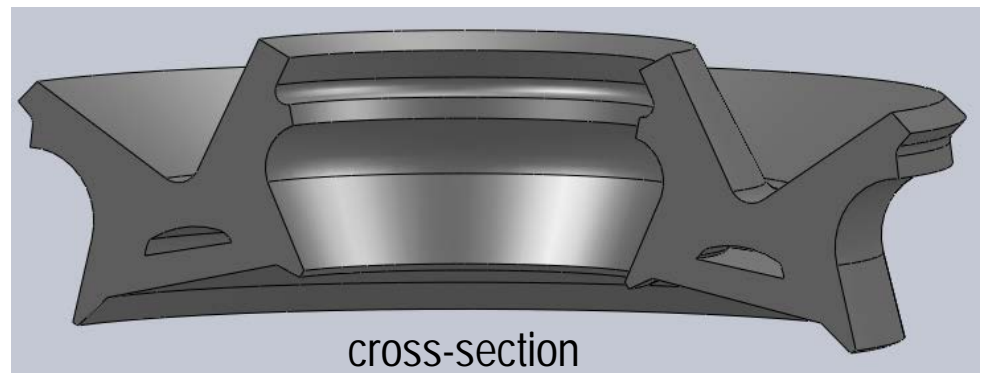
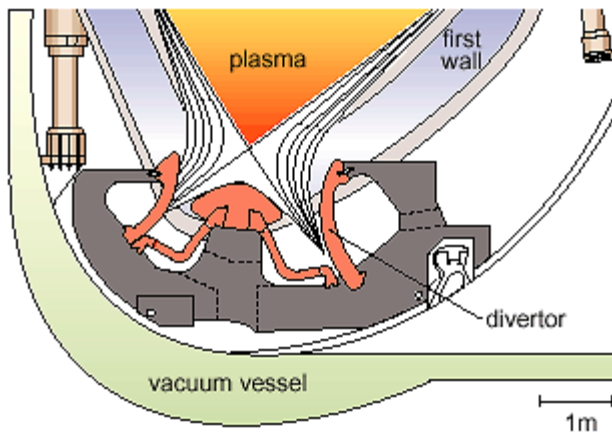
Cross-section of ITER



CAD images

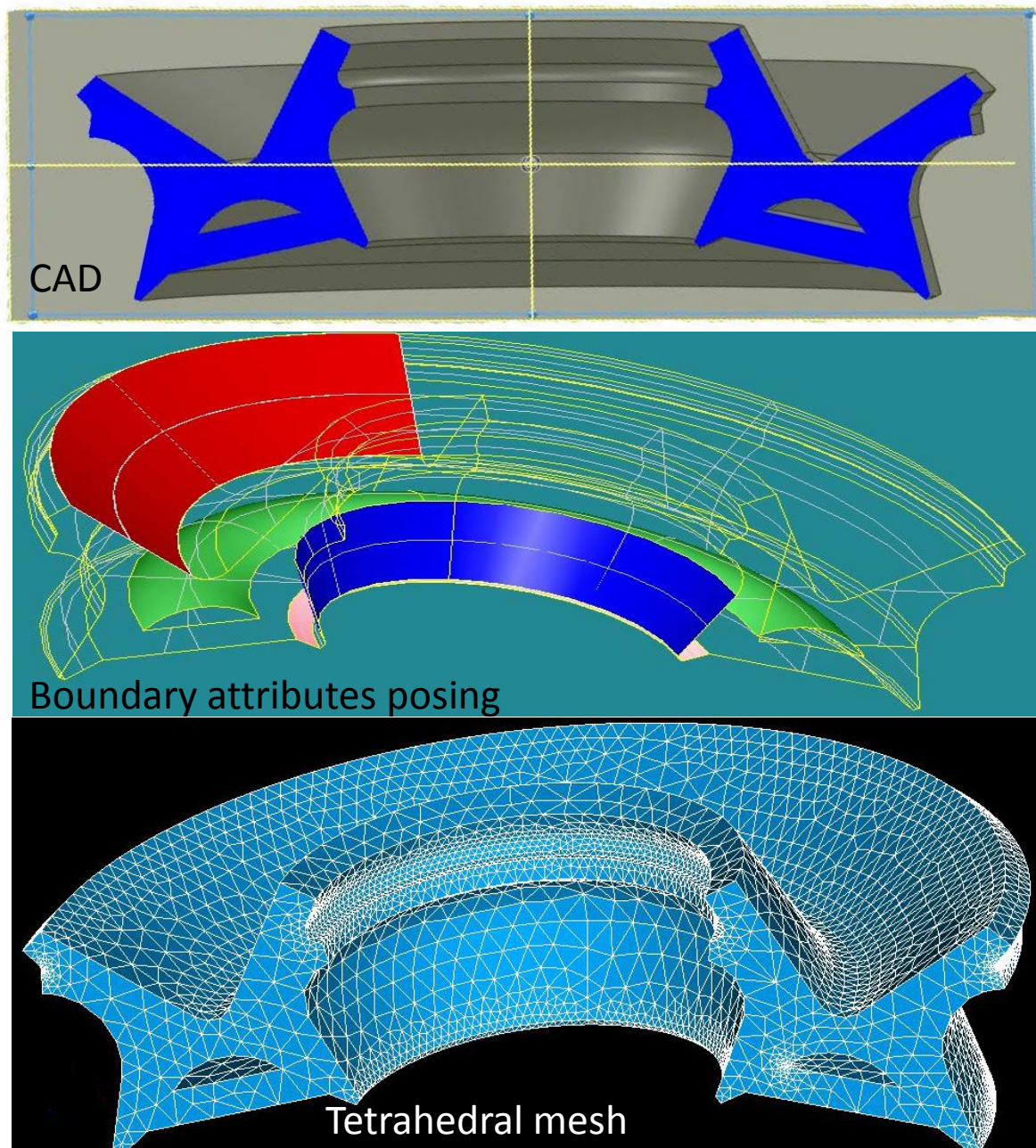


Magnified view of divertor area



Turbulent heat and mass transfer in ITER divertor:

From CAD model
to computational mesh



Initial tetrahedral mesh before refinement is shown.
The resulting mesh includes 10^8 cells and more.

Kinetic schemes and QGS for MHD

$$f_0 = \frac{\rho}{(2\pi K T)^{3/2}} \exp\{-\left(\bar{\xi} - \bar{U}(x, t) - i\bar{w}\right)^2\}$$

$$w = \frac{\bar{B}}{\sqrt{\rho}} \quad \varphi = \left(1, \xi, \frac{\xi^2}{2}, \xi^2\right)$$

$$\rho = \int f_0 d\xi, \quad \bar{U} = \frac{1}{\rho} \int \xi f d\xi, \quad E = \int \frac{\xi^2}{2} f_0 d\xi$$

$$B = -\frac{1}{\sqrt{\rho}} \int m \xi^* f_0 d\xi$$

$$\int f d\xi \quad \times \quad \frac{\partial \rho}{\partial t} + \frac{\partial \rho U_K}{\partial x_K} = 0$$

$$\int f \xi d\xi \quad \times \quad \frac{\partial \rho U_K}{\partial t} + \frac{\partial}{\partial x_K} \left[\left(P + \frac{B^2}{2} \right) \delta_{PK} + \rho U_{KP} - B_K B_P \right] = 0$$

$$\int f \frac{\xi^2}{2} d\xi \quad \times \quad \frac{\partial E}{\partial t} + \frac{\partial}{\partial x_K} \left[U_K \left(E + P + \frac{B^2}{2} \right) - B_K \sum_P U_i B_P \right] = 0$$

$$\int f \xi^* d\xi \quad \times \quad \frac{\partial B_K}{\partial t} - \frac{\partial}{\partial x_K} [U_P B_K - U_K B_P] = 0$$

$$\frac{\partial B_K}{\partial x_K} = 0 \quad , \tau, \quad \tau_m$$

Заключение

- Современные суперкомпьютеры в ряде случаев уже не ставят ограничений на степень детализации решения.
- Существуют масштабы, меньше которых детализация не имеет смысла.
- Дополнительные члены, как правило, выступают в роли физически обоснованных регуляризаторов, сглаживая нефизические эффекты, получающиеся при численном решении.
- Конкретное значение коэффициентов, входящих в решение, важно лишь по порядку величины.
- Учет минимальных размеров тесным образом связан с характером вывода уравнений сплошной среды, использующим представление конечного объема и дискретного описания среды.